

## تأثیر ثبیت با آهک و پلیمر و تسلیح با الیاف پلیمری بر رفتار تغییر حجمی خاک‌های رسی شور

رضا ضیایی مؤید، مهرداد هراتیان: دانشگاه بین‌المللی امام خمینی(ره)،  
دانشکده فنی مهندسی

تاریخ: دریافت ۸۹/۲/۴ پذیرش ۸۹/۱۰/۱۵

### چکیده

خاک‌های شور از جمله خاک‌های مسئله‌دار هستند که مشکلات فراوانی را در پروژه‌های عمرانی به وجود می‌آورند. نشت و تورم از جمله موضوعاتی بحرانی در خاک‌های رسی شورند. در این تحقیق رفتار تغییر حجمی -تحکیمی این نوع خاک‌ها، همچنین تأثیر ثبیت و تسلیح بر آن بررسی شده است. محل بررسی شده در این تحقیق بزرگراه امیرکبیر واقع در بین شهرهای قم و کاشان است. پس از اخذ نمونه و آزمایش‌های مقدماتی نظری دانه‌بندی، حدود اتربرگ و تراکم، ابتدا خاک محل تحت آزمایش‌های پتانسیل تورم و تحکیم قرار گرفت و پارامترهای تغییر حجمی خاک در حالت دست‌خورده و دست‌خورده به دست آمد و مشخص شد که نمونه دست‌خورده خاک مذکور دارای پتانسیل تورمی چشم‌گیری است، سپس نمونه‌های ثبیت شده خاک با درصدها و زمان‌های عمل آوری رزین-پلیمر رزین-اپوکسی، همچنین نمونه‌های تسلیح شده با درصدهای متفاوت الیاف پلیمری تحت آزمایش‌های پتانسیل تورم و تحکیم قرار گرفته و نتایج به دست آمده در دو حالت نمونه ثبیت نشده و نمونه ثبیت شده مقایسه شدند. با توجه به نتایج آزمایش‌های تحکیم و پتانسیل تورم، مشاهده می‌شود که دست‌خورده‌گی به شدت بر روی رفتار تغییر حجمی خاک تأثیر می‌گذارد. نتایج به دست آمده از آزمایش پتانسیل تورم حاکی از کاهش پتانسیل تورم در نمونه‌های ثبیت شده نسبت به نمونه‌های ثبیت نشده است.

**واژه‌های کلیدی:** خاک‌رس شور، رفتار تغییر حجمی، تورم، تحکیم، ثبیت، آهک، پلیمر رزین اپوکسی، الیاف پلیمری

## مقدمه

تحقیقات گوناگونی برای تعیین رفتارهای ژئوتکنیکی خاک‌های شور در سراسر دنیا انجام شده است. خاک‌های سبخا<sup>۱</sup> از جمله خاک‌های شوری هستند که تحقیقات نسبتاً زیادی روی آن انجام شده است، از خصوصیات این خاک می‌توان به تراکم پذیری زیاد و ظرفیت باربری کم این خاک اشاره کرد [۱]. از جمله معضلات خاک‌های رسی شور قابلیت تورم این خاک‌ها است که معطل عمومی در سراسر دنیا است. با توجه به توسعه سریع شهرسازی و همچنین احداث شبکه راه‌ها و بزرگراه‌ها بین شهرها، مهندسان ناچار به ساخت پروژه‌های مهمی بر روی چنین خاک‌هایی هستند. برای اولین بار در سال ۱۹۳۸ اداره بهسازی زمین ایالات متحده مسئله تورم در خاک را از دیدگاه مکانیک خاک شناسایی کرد، از آن زمان به بعد مهندسان بر این نکته واقف شدند که دلایل خرابی در ساختمان‌ها می‌تواند چیزی غیر از نشست در سازه‌ها باشد [۲]. خطرهای ناشی از خاک‌های انساطی در سازه‌های عمرانی (ساختمان‌ها، راه‌ها، روسازی‌ها، پی‌های دالی سبک و سایر سازه‌های سبک به لحاظ باربری) در سراسر دنیا به اثبات رسیده است [۳]. خسارت تخمینی ناشی از این خاک‌ها به سازه‌ها سالانه بالغ بر میلیارد‌ها دلار است [۴]، [۵]. با توجه به مشکلات خاک‌های شور تحقیقات اندکی در زمینه تثبیت، تسلیح و یا اصلاح این نوع خاک‌ها انجام گرفته است. در مورد خاک سبخا تأثیر ژئوتکستایل و سیمان با هدف افزایش ظرفیت باربری روسازی‌های واقع بر این خاک‌ها بررسی شد [۶]. با توجه به این که بخش وسیعی از کشور ایران را خاک‌های رسی شور فرا گرفته و با توجه به مشکلات بیان شده برای این خاک‌ها، نظر به این که برای اجرای برخی پروژه‌ها بهویژه پروژه‌های راهسازی، به ناچار برخی سازه‌ها بر روی این خاک‌ها احداث می‌شود، لذا، در این تحقیق سعی شد تا اولاً<sup>۲</sup> به بررسی خصوصیات تغییر حجمی و سپس بهبود مشخصات تورمی این خاک‌ها به وسیله تثبیت و تسلیح پرداخته شود.

در این مقاله به مشکل به وجود آمده در کیلومتر ۵۴ بزرگراه امیرکبیر واقع بین شهرهای قم و کاشان پرداخته می‌شود. در این قسمت از بزرگراه سطح جاده دچار ناهمواری (به صورت

---

<sup>۱</sup>. Sabkha soils

موج) شده که با بررسی‌های میدانی به عمل آمده مشخص شد که در آن منطقه بافت زمین از خاک‌های رسی شور تشکیل شده و اتفاقاً در محل عبور روان آب‌های سطحی، جاده دچار مشکل تورم شده است.

### مختصات و موقعیت محل

محل بررسی شده در این تحقیق، محلی واقع در کیلومتر ۵۴ بزرگراه امیرکبیر بین شهرهای قم و کاشان است. در این قسمت از بزرگراه، سطح جاده دچار ناهمواری‌هایی به صورت موج مانند شده است. با توجه به چندین بار ترمیم روسازی جاده مجدد مشاهده می‌شود که پس از گذشت چند ماه و با آغاز فصل بهار سطح جاده دچار ناهمواری می‌شود. با بررسی‌های به عمل آمده مشخص شد که در آن قسمت از بزرگراه جاده بر روی توده‌ای از خاک‌های رسی شور واقع شده که اتفاقاً محل عبور جریان‌های روان آب‌های فصلی نیز است. در شکل ۱ موقعیت بزرگراه امیرکبیر بین تپه‌های نمکی در منطقه پژوهش مشاهده می‌شود.

پس از بررسی‌های اولیه و میدانی، خاک محل برای انجام این تحقیق انتخاب شد.



شکل ۱. موقعیت بزرگراه امیرکبیر بین تپه‌های نمکی در منطقه بررسی شده

### نمونه‌برداری و آزمایش‌های در محل

پس از انجام بررسی‌های اولیه و پژوهش‌های میدانی و انتخاب محل (سایت)، با حفر ۲ گمانه‌دستی<sup>۱</sup> به عمق ۲/۵ متر اقدام به نمونه‌برداری از خاک به صورت دست نخورده و دست نخورده و همچنین انجام آزمایش‌هایی نظریه دانسته در محل و SPT شد که نتایج این آزمایش‌ها در جدول ۱ نشان داده شده است، سپس آزمایش‌های مقدماتی نظریه دانه‌بندی،

<sup>۱</sup>.Test pit

هیدرومتری، حدود اتربرگ و آزمایش‌های شیمی خاک انجام شد. سایر خصوصیات خاک بررسی شده در جدول ۲ و منحنی دانه‌بندی خاک بررسی شده در شکل ۲ ارائه شده است.

جدول ۱ نتایج آزمایش‌های در محل

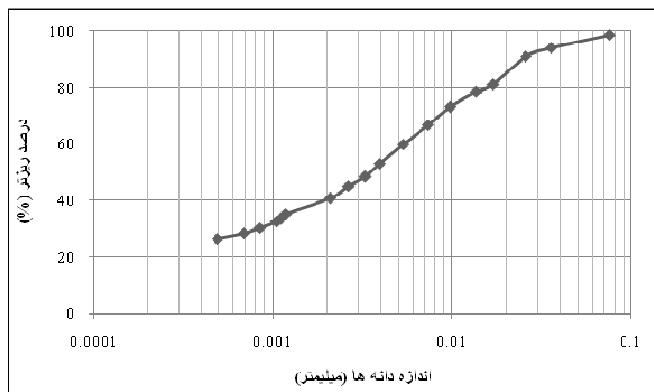
شماره گمانه	$N_{SPT}$	درصد رطوبت (%)	دانسیته خشک ( $\gamma_{dry}$ ) $gr/cm^3$	دانسیته تر ( $\gamma_{wet}$ ) $gr/cm^3$
۱	۳۷	۱۶/۶	۱/۸۳	۲/۱۱
۲	۴۱	۱۶/۳	۱/۸۸	۲/۱۵

جدول ۲. مشخصات خاک بررسی شده

GS	LL (%)	PL (%)	PI (%)	طبقه‌بندی USCS	PH	EC* Ds/m	TDS** (%)
۲/۷۳	۴۱	۲۲	۱۹	CL	۷/۸۰	۸۳/۳۸	۸/۰۲

\* Electrical Conductivity

\*\* Total Dissolved Salt



شکل ۲. منحنی دانه‌بندی خاک بررسی شده

با توجه به هدایت الکتریکی اندازه‌گیری شده به میزان ۸۳/۳۸ دسی‌زیمنس بر متر و همچنین درصد کل نمک محلول در عصار G ۱۰/۱ خاک و آب به میزان ۸/۰۲ درصد، که از روش‌های طبقه‌بندی خاک‌های شور و قلایی هستند، خاک بررسی شده در طبقه‌بندی

خاکهای بسیار شور قرار گرفته است<sup>[۷]</sup> و همچنین با نتایج به دست آمده از آزمایش دانه‌بندی و حدود اتربرگ، خاک بررسی شده طبق سیستم طبقه‌بندی متحده در گروه CL (رس با خاصیت خمیری کم) قرار می‌گیرد.

### **مشخصات تثبیت کننده‌ها و تسلیح کننده‌ها مورد استفاده**

از میان تثبیت کننده‌های سنتی آهک به دلیل این‌که در تحقیقات گذشته به عنوان یک تثبیت کننده مناسب برای تثبیت خاکهای شور و رسی متورم شونده نام برده شده است<sup>[۸]، [۹]</sup>،  
[۱۰]، [۱۱]، [۱۲]<sup>[۱۳]</sup> و از میان تثبیت کننده‌های غیرسنتی دسته پلیمرها به دلیل شناخته شده‌تر و در دسترس بودن در کشور انتخاب شده است. تسلیح کننده مورد استفاده در این تحقیق نیز الیاف پلیمری بوده که به دلیل سازگاری این الیاف با خاکهای رسی و همچنین در دسترس بودن در کشور، این تسلیح کننده انتخاب شد<sup>[۱۴]</sup>.

#### **۱. آهک**

در این تحقیق برای تثبیت از آهک هیدراته استفاده شده است. گرچه آهک زنده به علت درصد بالای Cao تأثیر بیشتری در تثبیت و اصلاح خاک نسبت به آهک هیدرات‌ها شکفتۀ دارد ولی چون کار کردن با آهک هیدراته ایمن‌تر بوده و کاربرد آن نیز در صنعت مرسوم است، این نوع آهک انتخاب گردید. آهک استفاده شده در این تحقیق از نوع آهک هیدراته با pH برابر ۱۲/۵۲ و وزن مخصوص ۵۶۰ کیلوگرم در متر مکعب و چگالی ذرات ۲/۲۳ که بالغ بر ۹۰ درصد  $\text{Ca(OH)}_2$  است. در این تحقیق نیز با توجه به نتایج تحقیق‌های مشابه و شرایط ویژه خاک و همچنین احتمال اثر بخش بودن درصدهای پایین‌تر، محدوده ۶ تا ۲ درصد (۴ و ۶٪) برای انجام آزمایش‌ها انتخاب شده است.

#### **۲. پلیمر**

پلیمری که در این تحقیق برای تثبیت خاک بررسی شده به کار رفته است از دسته پلیمرهای رزین اپوکسی است. رزین‌های اپوکسی با نام رزین‌های اپوکسید نیز شناخته می‌شوند. ساختار شیمیایی رزین اپوکسی شامل دو بخش اپوکسی و غیر اپوکسی است. رزین

اپوکسی استفاده شده در این تحقیق رزین اپوکسی بیسفنول-۱۰ است که محصول واکنش بیسفنول-آ و اپی کلروهیدرین<sup>۲</sup> است. پلیمر رزین اپوکسی یک پلیمر غیر پایه آبی است به این معنی که این پلیمر قابلیت انحلال در آب را ندارد و این امر یکی از دلایل مهم انتخاب این پلیمر به عنوان ثبت کننده در این تحقیق است، زیرا با توجه به مشکل خاک‌های شور که با افت شدید مقاومت هنگام ترشدن مواجه می‌شوند، امکان استفاده از پلیمرهای پایه آبی در این تحقیق وجود ندارد.

در این تحقیق از پلی‌آمید به عنوان سخت‌کننده استفاده شد که با توجه به ریزدانه بودن خاک و همچنین تجارب گذشته<sup>[۱۴]</sup>، نسبت ۱ به ۰/۹ پلیمر به سخت‌کننده انتخاب شد. در جدول ۳ بعضی از مشخصات پلیمر رزین اپوکسی استفاده شده در این تحقیق ارائه شده است.

جدول ۳. مشخصات پلیمر رزین اپوکسی مورد استفاده<sup>[۱۴]</sup>

ترکیب شیمیایی	C <sub>3</sub> H <sub>5</sub> O [C <sub>18</sub> H <sub>19</sub> O <sub>3</sub> ] <sub>n</sub> C <sub>18</sub> H <sub>19</sub> O <sub>3</sub>
چگالی	۲/۲ گرم بر سانتیمتر مکعب
مدول الاستیسیته	۲۰ گیگاپاسکال

برای دست‌یابی به مقادیر مناسب ثبت کننده در صدهای وزنی مختلف پلیمر رزین اپوکسی به خاک اضافه شد، و نتایج بررسی شد. با توجه به تحقیقات گذشته<sup>[۱۴]</sup> و نتایج به دست آمده مشخص شد که امکان استفاده از این پلیمر در در صدهای وزنی پایین وجود ندارد. نتایج نشان دادند که پلیمر در در صدهای وزنی کمتر از ۴ درصد توانایی نگهداشتن دانه‌های خاک را در نمونه‌های ساخته شده ندارد. بنا بر این در صدهای وزنی بالاتر از ۴، ۵، ۶ و ۹ درصد) برای ثبت خاک انتخاب شد.

### ۲. الیاف پلیمری

الیاف مورد استفاده در این تحقیق از دسته الیاف با پایه شیمیایی پلیمر پلی پروپیلن است. با توجه به تحقیقات گذشته در زمینه تسليح خاک با الیاف پلیمری، استفاده از این الیاف جهت بهبود خصوصیات مکانیکی خاک یکی از اقتصادی‌ترین مصالح مسلح کننده است<sup>[۱۵]</sup>. شکل ظاهری این الیاف در شکل ۳ نشان داده شده است.

۱. Resin Epoxy Bisphenol-A

۲. Epichlorohydrin



شکل ۳. الیاف پلیمری مورد استفاده در این تحقیق

در جدول ۴ مشخصات الیاف پلیمری استفاده شده در این تحقیق ارائه شده است. در این تحقیق با توجه به شرایط ویژه خاک و همچنین احتمال اثر بخش بودن درصدهای پایین‌تر بر اساس نتایج تحقیقات گذشته [۱۵] محدوده ۰/۱ تا ۰/۴ درصد (۰/۱، ۰/۲، ۰/۳ و ۰/۴ درصد) برای انجام آزمایش‌ها انتخاب شده است.

جدول ۴. مشخصات الیاف پلیمری مورد استفاده در این تحقیق [۱۶]

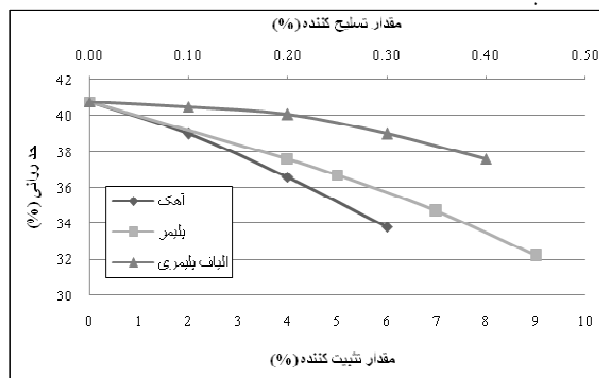
شکل ظاهری	پایه شیمیایی	وزن مخصوص	طول	قطر	مقاومت کششی	نقطه ذوب
الیاف سفید رنگ	پلیمر پلی پروپیلن	۹۰۰ Kg/cm <sup>3</sup>	۱۴ میلی متر	۲۰ میکرون	N/mm <sup>2</sup> ۳۵۰	۱۶۰ °C

### برنامه آزمایشگاهی

در پژوهش حاضر، خصوصیات تغییر حجمی خاک در حالت دست‌خورده، دست‌خورده، نمونه‌های ثبیت شده با آهک و پلیمر رزین اپوکسی و همچنین نمونه‌های تسلیح شده با الیاف پلیمری با یکدیگر مقایسه می‌شوند. پس از انجام آزمایش تراکم بر روی خاک طبیعی، این آزمایش بر روی نمونه‌های ثبیت شده با ۰/۱، ۰/۲، ۰/۳ و ۰/۴ درصد آهک و ۰/۴، ۰/۳، ۰/۲، ۰/۱ الیاف پلیمری انجام شد و حداکثر دانسیتۀ خشک و رطوبت بهینه نمونه‌ها به دست آمد. از این مقدار برای ساخت نمونه‌های دست‌خورده استفاده می‌شود. برنامه آزمایشگاهی این تحقیق را می‌توان به چهار بخش اصلی آزمایش‌های تعیین حدود اتربرگ، آزمایش‌های تراکم، آزمایش‌های پتانسیل تورم و آزمایش‌های تحکیم تقسیم کرد:

### ۱. آزمایش‌های تعیین حدود اتربرگ

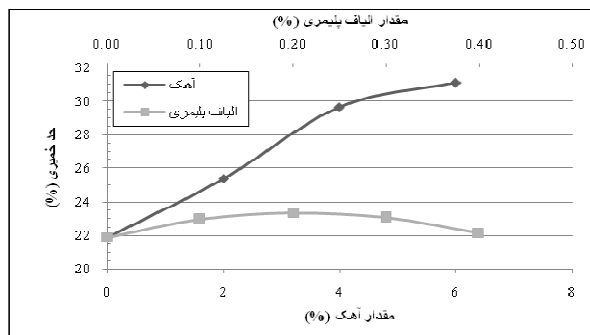
در این بخش نتایج آزمایش‌های حد روانی و خمیری انجام شده برای خاک ثبت شده با آهک و پلیمر و همچنین خاک تسلیح شده با الیاف پلیمری ارائه شده است. نتایج نشان می‌دهد که هر دو ثبت کننده (آهک و پلیمر) و همچنین الیاف پلیمری استفاده شده در این تحقیق باعث کاهش حد روانی خاک می‌شوند. این مطلب در شکل ۴ نشان داده شده است. چنان‌که در این شکل مشاهده می‌شود افزودن آهک و پلیمر به خاک بیش از افزودن الیاف پلیمری به آن موجب کاهش حد روانی مخلوط می‌شود. علت اصلی کاهش حد روانی در نمونه‌های ثبت شده با آهک را می‌توان واکنش تبادل یونی ناشی از ترکیب خاک با آهک دانست. این واکنش‌ها باعث کاهش خصوصیات خمیری خاک می‌شوند که در نهایت افزایش کارآیی خاک را نتیجه می‌دهند. علت کاهش حد روانی در نمونه‌های ثبت شده با پلیمر نیز می‌تواند به دلیل واکنش‌های شیمیایی انجام شده بین خاک و پلیمر و در پی آن سیماتاتیسیون به وجود آمده در نمونه‌های ثبت شده باشد.



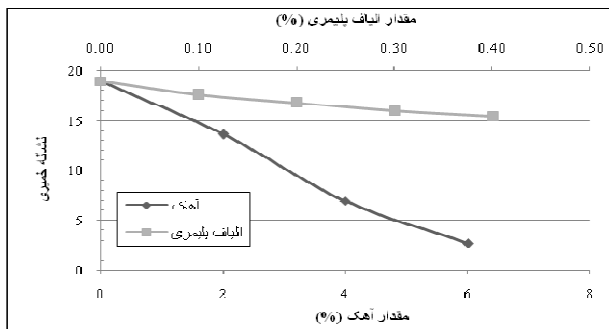
شکل ۴. تأثیر افزودن ثبت کننده و تسلیح کننده بر روی حد روانی خاک

امکان آزمایش تعیین حد خمیری برای مخلوط خاک و پلیمر به علت عدم امکان فتیله کردن مخلوط خاک و ثبت کننده وجود ندارد. نتیجه آزمایش تعیین حد خمیری بر روی مخلوط خاک با آهک نشان می‌دهد که افزودن آهک باعث افزایش حد خمیری خاک شده است. چنان‌که در شکل ۵ مشاهده می‌شود، تغییرات حد خمیری در مخلوط خاک با الیاف پلیمری در مقایسه با مخلوط خاک و آهک بسیار اندک بوده و بدین ترتیب است که تا ۰/۲

در صد افزایش و از  $0/2\%$  در صد تا  $0/4\%$  در صد کاهش می‌یابد. نشانهٔ خمیری در هر دو مخلوط خاک با آهک و الیاف پلیمری کاهش یافته است. چنان‌که در شکل ۶ مشاهده می‌شود نرخ کاهش نشانهٔ خمیری در مخلوط خاک و آهک بیش از مخلوط خاک و الیاف پلیمری است.



شکل ۵. تأثیر افزودن آهک و الیاف پلیمری بر روی حد خمیری خاک



شکل ۶. تأثیر افزودن آهک و الیاف پلیمری بر روی نشانهٔ خمیری خاک

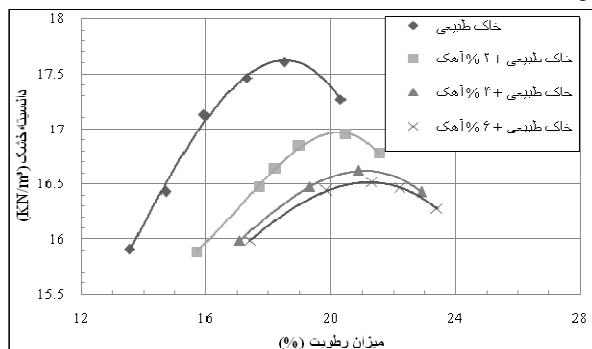
## ۲. آزمایش‌های تراکم

در این تحقیق آزمایش تراکم به روش پراکتور استاندارد طبق استاندارد ASTM D698 انجام شده است. هدف از انجام این آزمایش بررسی مشخصات تراکمی خاک طبیعی (میزان رطوبت بهینه و دانسیته خشک حداقل) و همچنین اثر افزودن آهک و الیاف پلیمری بر روی آن است.

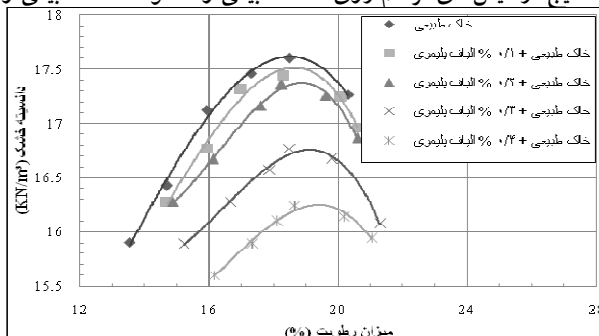
لازم به ذکر است با توجه به این که پلیمر رزین اپوکسی استفاده شده از نوع پلیمرهای پایه غیرآبی است و هنگام استفاده از آن خاک مورد نظر باید خشک باشد، انجام آزمایش تراکم بر روی مخلوط خاک و پلیمر میسر نیست؛ زیرا در عمل امکان افزودن آب به مخلوط خاک و پلیمر و در نتیجه متراکم کردن آن وجود ندارد.

با توجه به نتایج به دست آمده برای خاک طبیعی، رطوبت بهینه برابر  $18/5$  درصد و حداقل دانسیته خشک برابر  $17/6$  کیلو نیوتون بر متر مکعب تعیین شد. نتایج آزمایش تراکم که بر روی خاک طبیعی و مخلوط خاک طبیعی و آهک در درصدهای  $2, 4$  و  $6$  انجام شده است به صورت منحنی‌های تراکم در شکل ۷ و نتایج این آزمایش بر روی خاک طبیعی و مخلوط خاک طبیعی و الیاف پلیمری در درصدهای  $0/1, 0/3$  و  $0/4$  به صورت منحنی‌های تراکم

در شکل ۸ نشان داده شده است.



شکل ۷. نتایج آزمایش‌های تراکم روی خاک طبیعی و مخلوط خاک طبیعی و آهک



شکل ۸. نتایج آزمایش‌های تراکم روی خاک طبیعی و مخلوط خاک طبیعی و الیاف پلیمری

با توجه به نتایج آزمایش‌های تراکم مشاهده می‌شود که افزودن آهک و الیاف پلیمری به خاک بررسی شده موجب کاهش دانسیته خشک حداکثر و افزایش رطوبت بهینه خاک می‌شود، که این افزایش در نمونه‌های تسلیح شده با الیاف پلیمری ناچیز است. کاهش دانسیته خشک حداکثر در اثر افزودن آهک به خاک، می‌تواند به دلیل بالاتر بودن چگالی دانه‌های خاک (۲/۷۳)  $G_s =$  نسبت به دانه‌های آهک ( $GL = ۲/۲۳$ ) و همچنین کاسیمی شدن رس باشد. افزایش رطوبت بهینه نیز به علت انجام هیدراتاسیون و واکنش‌های پوزولانی میان خاک و آهک و همچنین آب دوست بودن آهک بوده چنان‌که با افزایش میزان آهک، رطوبت بهینه نیز افزایش می‌یابد.

## ۲. آزمایش‌های پتانسیل تورم

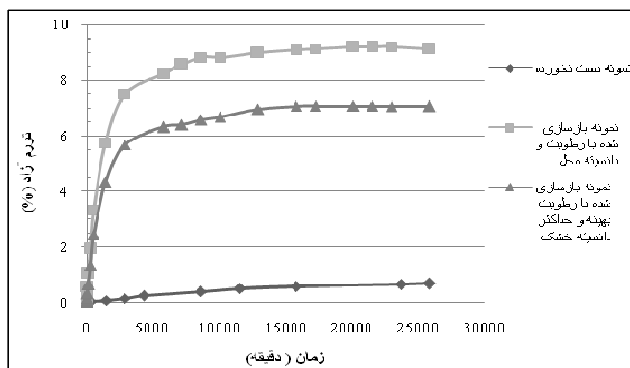
آزمایش پتانسیل تورم طبق استاندارد ASTM D-4546 انجام شده است. هدف اصلی از انجام این آزمایش به دست آوردن پارامترهای تورمی خاک (تورم آزاد و فشار تورمی) است که با هدف نهایی این تحقیق که بررسی پارامترهای تغییر حجمی خاک شور و اثر ثبیت بر آن‌ها است نیز منطقی است. آزمایش پتانسیل تورم شامل دو بخش است، بخش اول تورم آزاد نمونه تحت سربار ناچیز (حدود ۱ کیلوپاسکال) و بخش دوم تعیین فشار تورمی است.

## ۴. آزمایش‌های پتانسیل تورم خاک طبیعی

پس از نمونه‌گیری و انجام آزمایش‌های مقدماتی، جهت انجام آزمایش تورم آزاد و همچنین تعیین حداکثر فشار تورمی علاوه بر نمونه دست نخورده با توجه به رطوبت و دانسیته در محل و همچنین رطوبت بهینه و حداکثر دانسیته خشک به دست آمده از نتایج آزمایش تراکم نمونه‌هایی بازسازی شد. در شکل ۹ نمودار تورم خاک بر حسب زمان برای سه حالت نمونه دست‌نخورده، نمونه دست‌نخورده بازسازی شده شرایط محل و همچنین نمونه دست‌نخورده بازسازی شده با حداکثر دانسیته خشک و رطوبت بهینه مشاهده می‌شود.

با توجه به این شکل اثر دست‌نخورده‌گی بر روی تورم خاک به وضوح مشهود است. با توجه به نتایج آزمایش‌های تورم به دست آمده بر روی خاک پروژه حاضر می‌توان نتیجه گرفت

که علت اصلی تورم در این خاک دست‌خوردگی خاک و تخریب ساختار و ترکیب اولیه خاک است. با عنایت به این‌که در عملیات عمرانی علی‌الخصوص در عملیاتی همچون احداث پل و زیرگذار و آبراهه و.... که دست‌خوردگی در خاک اجتناب‌ناپذیر است (چنان‌که پروژه مذکور نیز در حوالی محل احداث یک پل بوده)، برای کاهش تورم پیش آمده باید برای بهبود (کاهش) پتانسیل تورمی خاک در حالت دست‌خورد راه چاره‌ای اندیشید.



شکل ۹. نمودار تورم خاک بر حسب زمان برای نمونه دست‌خورد و نمونه‌های دست‌خورد پس از تورم نهایی نمونه با بارگذاری دستگاه ادئومتر اقدام به تعیین فشار تورمی نمونه‌های دست‌خورد و دست‌خورد شد. نتایج حاصل از آزمایش تورم آزاد و تعیین فشار تورمی روی نمونه‌های مذکور در جدول ۵ ارائه شده است.

#### جدول ۵. نتایج حاصل از آزمایش پتانسیل تورم روی نمونه‌های دست‌خورد و دست‌خورد

مشخصات نمونه خاک	میزان تورم آزاد (میلی‌متر)	میزان تورم آزاد (%)	درصد فشار تورم نرمالیزه شده نسبت به نمونه دست‌خورد (٪)	فشار تورم (kPa)	درصد فشار تورم نرمالیزه شده نسبت به نمونه دست‌خورد (٪)
نمونه دست‌خورد	۰/۱۲	۰/۸	۱۱/۳۲	۳۹/۲۳	۲۱/۹۸
نمونه دست‌خورد بازسازی شده با رطوبت و دانسیته محل	۱/۷۸	۹/۲۲	۱۳۰/۴۱	۱۶۷/۷۱	۹۳/۶۱
نمونه دست‌خورد بازسازی شده با رطوبت بهینه و دانسیته خشک حداقل	۱/۳۵	۷/۰۷	۱۰۰	۱۷۸/۴۸	۱۰۰

## ۵. آزمایش‌های پتانسیل تورم نمونه‌های تثبیت شده با آهک

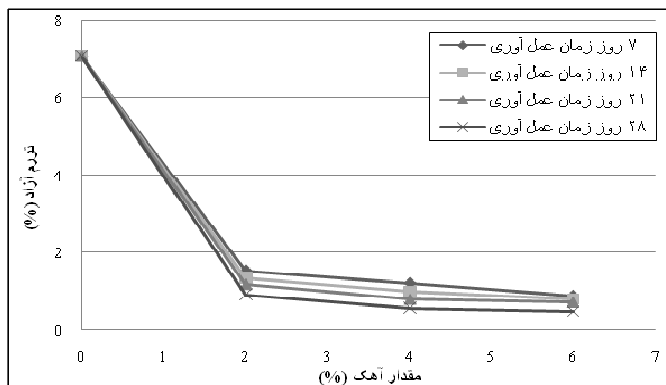
برای نشان دادن تأثیر تثبیت خاک با آهک بر خصوصیات تورمی خاک حاضر، آزمایش‌های پتانسیل تورم روی نمونه‌های تثبیت شده با ۲، ۴ و ۶ درصد آهک و در زمان‌های عمل‌آوری ۷، ۱۴، ۲۱ و ۲۸ روز انجام شد. برای ساخت نمونه ابتدا ترکیب خاک طبیعی با درصدهای وزنی مختلف آهک (۲۴ و ۶ درصد) تحت آزمایش تراکم قرار گرفت و رطوبت بهینه و حداکثر دانسیته خشک برای ترکیب خاک با درصدهای مختلف آهک به دست آمد. سپس با توجه به درصد رطوبت بهینه و دانسیته حداکثر به دست آمده برای درصدهای مختلف آهک، نمونه‌های متعددی در رینگ دستگاه ادئومتر ساخته شد و نمونه‌ها جهت اعمال زمان‌های عمل‌آوری مختلف (۷، ۱۴، ۲۱، ۲۸ روز) با همان درصد رطوبت بهینه در داخل کیسه‌های نایلونی که امکان ورود هوا را نداشته نگه‌داری شدند. هر نمونه پس از سپری شدن زمان عمل‌آوری مورد نظر از کیسه مربوطه خارج شده و در محفظه دستگاه ادئومتر قرار گرفته و پس از تنظیم دستگاه و پر نمودن محفظه دستگاه از آب مقطر تحت آزمایش تورم آزاد قرار گرفت. نتایج حاصل از آزمایش تورم آزاد و تعیین فشار تورمی نمونه‌های تثبیت شده با آهک در جدول ۶ ارائه شده است.

با تحلیل و بررسی نتایج به دست آمده از آزمایش پتانسیل تورم نمونه‌های تثبیت شده با آهک می‌توان نتیجه‌گیری کرد که تثبیت خاک حاضر با آهک مؤثر واقع شده و به میزان چشم‌گیری تورم آزاد و فشار تورم خاک در حالت تثبیت نشده را کاهش می‌دهد. چنان‌که ملاحظه شد با افزودن آهک به خاک شور بررسی شده، تورم آزاد حدود ۷ الی ۲۲ درصد و فشار تورمی بین ۱۵ تا ۳۳ درصد نمونه تثبیت نشده برای درصدهای مختلف آهک در زمان‌های عمل‌آوری متفاوت کاهش یافته که این بیان‌گر این مطلب است که تثبیت خاک بررسی شده با آهک بسیار مطلوب است. شکل ۱۰ و ۱۱ به ترتیب تأثیر آهک بر میزان تورم آزاد و فشار تورمی را نشان می‌دهد.

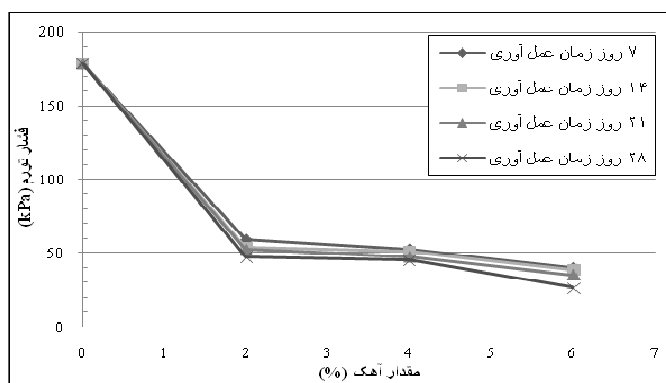
### جدول ۶. نتایج حاصل از آزمایش پتانسیل تورم روی نمونه‌های ثبت شده با آهک

مشخصات نمونه خاک	تورم آزاد (%)	درصد تورم آزاد نرمالیزه شده (%)	فشار تورم (kPa)	درصد فشار تورم نرمالیزه شده (%)
نمونه ثبت شده با ۲٪ آهک در زمان عمل آوری یک هفته	۱/۵۴	۲۱/۷۴	۵۸/۸۴	۳۲/۹۷
نمونه ثبت شده با ۴٪ آهک با زمان عمل آوری یک هفته	۱/۲۱	۱۷/۱۲	۵۲/۴۹	۲۹/۴۱
نمونه ثبت شده با ۶٪ آهک در زمان عمل آوری یک هفته	۰/۸۸	۱۲/۵۱	۳۹/۸۰	۲۲/۳۰
نمونه ثبت شده با ۲٪ آهک در زمان عمل آوری دو هفته	۱/۳۶	۱۹/۲۱	۵۳/۵۳	۲۹/۴۹
نمونه ثبت شده با ۴٪ آهک در زمان عمل آوری دو هفته	۱/۰۰	۱۴/۱۷	۵۰/۷۶	۲۸/۴۴
نمونه ثبت شده با ۶٪ آهک در زمان عمل آوری دو هفته	۰/۸۲	۱۱/۵۴	۳۸/۶۵	۲۱/۶۶
نمونه ثبت شده با ۲٪ آهک در زمان عمل آوری سه هفته	۱/۱۸	۱۶/۶۹	۵۲/۲۶	۲۹/۲۸
نمونه ثبت شده با ۴٪ آهک در زمان عمل آوری سه هفته	۰/۸۰	۱۱/۳۲	۴۷/۳۰	۲۷/۵۰
نمونه ثبت شده با ۶٪ آهک در زمان عمل آوری سه هفته	۰/۷۳	۱۰/۳۳	۳۵/۱۹	۱۹/۷۲
نمونه ثبت شده با ۲٪ آهک در زمان عمل آوری چهار هفته	۰/۹۲	۱۳/۰۷	۴۷/۳۰	۲۶/۵۰
نمونه ثبت شده با ۴٪ آهک در زمان عمل آوری چهار هفته	۰/۵۸	۸/۲۰	۴۵/۰۰	۲۵/۲۱
نمونه ثبت شده با ۶٪ آهک در زمان عمل آوری چهار هفته	۰/۴۹	۶/۹۳	۲۶/۵۴	۱۴/۸۷

\* نمونه بازسازی شده خاک طبیعی با حداقل دانسیته خشک و رطوبت بهینه



شکل ۱۰. تأثیر آهک بر تورم آزاد خاک شور بررسی شده



شکل ۱۱. تأثیر آهک بر فشار تورم خاک شور بررسی شده

#### ۶. آزمایش‌های پتانسیل تورم نمونه‌های ثبیت شده با پلیمر

برای نشان دادن تأثیر ثبیت خاک با پلیمر بر خصوصیات تورمی خاک حاضر، آزمایش‌های پتانسیل تورم روی نمونه‌های ثبیت شده با ۴، ۵، ۷ و ۹ درصد پلیمر و با زمان‌های عمل آوری ۱، ۳ و ۷ روز انجام شد. با توجه به این‌که عمل آوری نمونه‌های ثبیت شده با پلیمر باید به صورت خشک انجام می‌شد و همچنین برای ساخت نمونه‌ها امکان انجام آزمایش تراکم به دلیل عدم امکان گیرش مناسب نمونه در مجاورت رطوبت وجود نداشت، تمامی نمونه‌ها به صورت خشک و با دانسیته خشک نمونه طبیعی بازسازی شده با رطوبت بهینه و حداقل دانسیته خشک به دست آمده از آزمایش تراکم ساخته شدند. برای اعمال زمان عمل آوری نیز

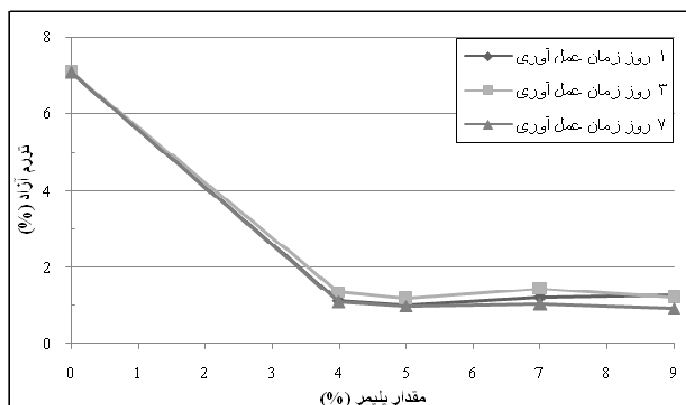
نمونه‌ها در فضای آزاد و در شرایطی که امکان عبور هوا بر روی سطوح باز نمونه وجود داشته باشد قرار داده شد. هر نمونه پس از سپری شدن زمان عمل‌آوری مورد نظر در محفظه دستگاه ادئومتر قرار گرفته و پس از تنظیم دستگاه و پر کردن محفظه دستگاه از آب مقطر تحت آزمایش تورم آزاد قرار گرفت. نتایج حاصل از آزمایش تورم آزاد و تعیین فشار تورمی نمونه‌های تثبیت شده با پلیمر، در جدول ۷ ارائه شده است.

**جدول ۷. نتایج حاصل از آزمایش پتانسیل تورم روی نمونه‌های تثبیت شده با پلیمر**

مشخصات نمونه خاک	تورم (%)	آزاد (%)	درصد تورم آزاد نرمالیزه شده (%)	فشار تورم (kPa)	درصد فشار تورم نرمالیزه شده (%)	نسبت به نمونه دست خورده*	نام نمونه
نمونه تثبیت شده با ۴٪ پلیمر با زمان عمل‌آوری یک روز	۱/۱۱	۱۵/۶۳	۱۲۴/۵۵	۶۹/۷۸	۱۲۴/۵۵	۱۰۰/۰۳	۵۶/۰۴
نمونه تثبیت شده با ۵٪ پلیمر با زمان عمل‌آوری یک روز	۱/۰۰	۱۴/۱۴	۱۰۰/۰۳	۵۶/۰۴	۱۰۰/۰۳	۱۶۸/۷۸	۹۶/۰۱
نمونه تثبیت شده با ۷٪ پلیمر با زمان عمل‌آوری یک روز	۱/۲۱	۱۷/۱۷	۱۶۸/۷۸	۹۶/۰۱	۱۶۸/۷۸	۲۰۰/۰۶	۱۱۲/۰۹
نمونه تثبیت شده با ۹٪ پلیمر با زمان عمل‌آوری یک روز	۱/۲۶	۱۷/۸۷	۲۰۰/۰۶	۱۱۲/۰۹	۲۰۰/۰۶	۱۷۴/۵۶	۹۷/۸۰
نمونه تثبیت شده با ۴٪ پلیمر با زمان عمل‌آوری سه روز	۱/۳۵	۱۹/۱۳	۱۷۴/۵۶	۹۷/۸۰	۱۷۴/۵۶	۱۵۰/۰۴	۸۴/۰۷
نمونه تثبیت شده با ۵٪ پلیمر با زمان عمل‌آوری سه روز	۱/۱۷	۱۶/۵۷	۱۵۰/۰۴	۸۴/۰۷	۱۵۰/۰۴	۱۷۴/۵۶	۹۷/۸۰
نمونه تثبیت شده با ۷٪ پلیمر با زمان عمل‌آوری سه روز	۱/۴۲	۲۰/۱۵	۱۷۴/۵۶	۹۷/۸۰	۱۷۴/۵۶	۲۰۰/۰۶	۱۱۲/۰۹
نمونه تثبیت شده با ۹٪ پلیمر با زمان عمل‌آوری سه روز	۱/۲۰	۱۷/۹۲	۲۰۰/۰۶	۱۱۲/۰۹	۲۰۰/۰۶	۱۵۰/۰۴	۸۴/۰۷
نمونه تثبیت شده با ۴٪ پلیمر با زمان عمل‌آوری هفت روز	۱/۰۸	۱۵/۰۳	۱۵۰/۰۴	۸۴/۰۷	۱۵۰/۰۴	۱۲۴/۵۵	۶۹/۷۸
نمونه تثبیت شده با ۵٪ پلیمر با زمان عمل‌آوری هفت روز	۰/۹۹	۱۳/۹۶	۱۲۴/۵۵	۶۹/۷۸	۱۲۴/۵۵	۱۶۱/۸۱	۹۰/۶۶
نمونه تثبیت شده با ۷٪ پلیمر با زمان عمل‌آوری هفت روز	۱/۰۳	۱۴/۵۱	۱۶۱/۸۱	۹۰/۶۶	۱۶۱/۸۱	۱۷۴/۵۶	۹۷/۸۰
نمونه تثبیت شده با ۹٪ پلیمر با زمان عمل‌آوری هفت روز	۰/۹۲	۱۳/۰۳	۱۷۴/۵۶	۹۷/۸۰	۱۷۴/۵۶		

\* نمونه بازسازی شده خاک طبیعی با حداقل دانسته خشک و رطوبت بهینه

با تحلیل و بررسی نتایج بهدست آمده در آزمایش تورم آزاد و تعیین فشار تورم روی نمونه‌های ثبیت شده با پلیمر می‌توان نتیجه‌گیری کرد که ثبیت خاک حاضر با پلیمر نیز مؤثر واقع شده و به میزان چشم‌گیری تورم آزاد خاک در حالت ثبیت نشده را کاهش می‌دهد. چنان‌که در بخش‌های گذشته ملاحظه شد با افزودن پلیمر به خاک شور بررسی شده، تورم آزاد حدود ۸۰ الی ۸۷ درصد کاهش داشته که این بسیار مطلوب است ولی فشار تورمی بین ۴۴ درصد کاهش تا ۱۲ درصد افزایش را برای درصدهای مختلف پلیمر با زمان‌های عمل آوری متفاوت نسبت به خاک طبیعی نشان می‌دهد. علت افزایش فشار تورم خاک ثبیت شده با پلیمر با این وجود کاهش شدید تورم آزاد بدین علت است که خاک ثبیت شده پس از حضور آب و شروع تورم آزاد طی فعل و انفعالات شیمیایی که بین خاک و پلیمر رخ می‌دهد به شدت سخت شده و جهت برگشت به حالت اولیه (صفر کردن تورم آزاد) نیازمند اعمال فشار بیشتری است. شکل ۱۲ تأثیر پلیمر بر میزان تورم آزاد خاک شور بررسی شده را نشان می‌دهد.



شکل ۱۲. تأثیر پلیمر بر میزان تورم آزاد خاک شور بررسی شده

#### ۷. آزمایش‌های پتانسیل تورم نمونه‌های تسلیح شده با الیاف پلیمری

نتایج حاصل از آزمایش پتانسیل تورم نمونه‌های تسلیح شده، با الیاف پلیمری در جدول ۸ ارائه شده است. با تحلیل و بررسی نتایج بهدست آمده در آزمایش پتانسیل تورم نمونه‌های

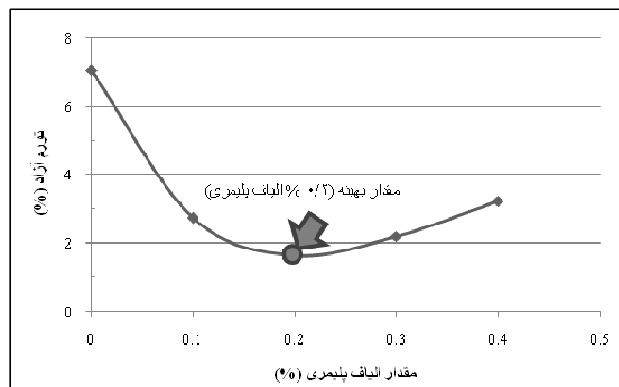
تسلیح شده با الیاف پلیمری می‌توان نتیجه‌گیری کرد که تسلیح خاک حاضر با الیاف پلیمری نیز مؤثر واقع شده و به میزان چشم‌گیری تورم آزاد و فشار تورم خاک در حالت تسلیح نشده را کاهش می‌دهد. در واقع می‌توان علت کاهش تورم آزاد و در نتیجه آن کاهش پتانسیل تورم در نمونه‌های تسلیح شده با الیاف پلیمری را افزایش توان کششی خاک در اثر تسلیح با الیاف پلیمری بیان کرد. با توجه به این که جهت قرارگیری الیاف پلیمری در خاک به صورت کاملاً تصادفی است، وقتی که نمونه در مجاورت رطوبت قرار گرفته و شروع به تورم می‌کند، پس از اندکی تورم آزاد الیافی که در راستای تغییر شکل نمونه قرار گرفته‌اند به کشش افتاده و مانع از تورم بیشتر نمونه می‌گرددند.

با جمع‌بندی نتایج آزمایش‌های تورم آزاد روی نمونه‌های تسلیح شده با الیاف پلیمری می‌توان نمودار درصد تورم آزاد نسبت به مقدار الیاف پلیمری نمونه‌های تسلیح شده با درصدهای مختلف الیاف پلیمری را چنان‌که در شکل ۱۳ نشان داده شده ترسیم کرد. چنان‌که ملاحظه می‌شود در نمونه‌های تسلیح شده با مقادیر بیش از ۰/۲ درصد الیاف پلیمری نتایج مطلوبی حاصل نمی‌شود که این می‌تواند به دلیل افزایش زهکشی آب به داخل نمونه و در نتیجه افزایش تورم نمونه باشد. نمودار فشار تورم بر حسب درصد الیاف پلیمری نیز در شکل (۱۴) ترسیم شده است.

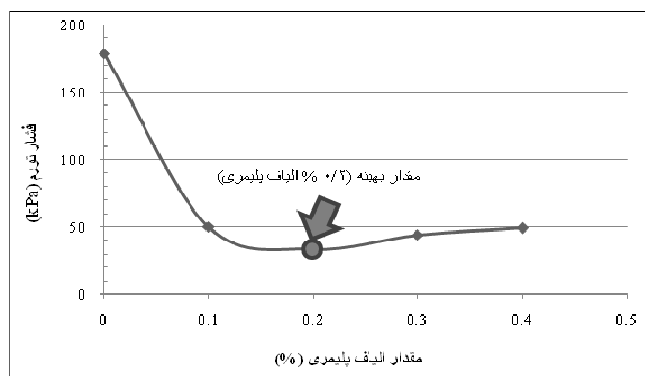
**جدول ۸ نتایج حاصل از آزمایش پتانسیل تورم نمونه‌های تسلیح شده با الیاف پلیمری**

درصد فشار تورم نرمالیزه شده نسبت به نمونه دستخورده (%)	فشار تورم (kPa)	درصد تورم آزاد نرمالیزه شده نسبت به نمونه دستخورده (%)	میزان تورم آزاد (%)	میزان تورم آزاد (میلی‌متر)	میزان الیاف پلیمری (%)
۲۸/۰۲	۵۰/۰۱	۳۸/۷۶	۲/۷۴	۰/۵۲	۰/۱
۱۸/۶۸	۳۳/۳۴	۲۳/۲۰	۱/۶۴	۰/۳۱	۰/۲
۲۴/۷۳	۴۴/۱۳	۳۱/۲۶	۲/۲۱	۰/۴۲	۰/۳
۲۷/۴۷	۴۹/۰۳	۴۵/۸۳	۳/۲۴	۰/۶۲	۰/۴

\* نمونه بازسازی شده خاک طبیعی با حداقل دانسیتۀ خشک و رطوبت بهینه



شکل ۱۳. نمودار درصد تورم آزاد نسبت به مقدار الایاف پلیمری نمونه‌های تسلیح شده با الایاف پلیمری



شکل ۱۴. نمودار فشار تورم بر حسب درصد الایاف پلیمری

### آزمایش‌های تحکیم

آزمایش تحکیم طبق استاندارد ASTM D2435 انجام شده است. هدف اصلی از انجام این آزمایش به دست آوردن پارامترهای تحکیمی خاک (نشست تحکیمی، نشانه فشردنگی، ضریب تحکیم و...) است که بر هدف نهایی این تحقیق که بررسی پارامترهای تغییر حجمی خاک شور و اثر ثبیت بر آنها است نیز منطبق است. در این تحقیق از نمونه‌های به قطر ۷۵ میلی‌متر و ارتفاع ۲۰ میلی‌متر استفاده شده است.

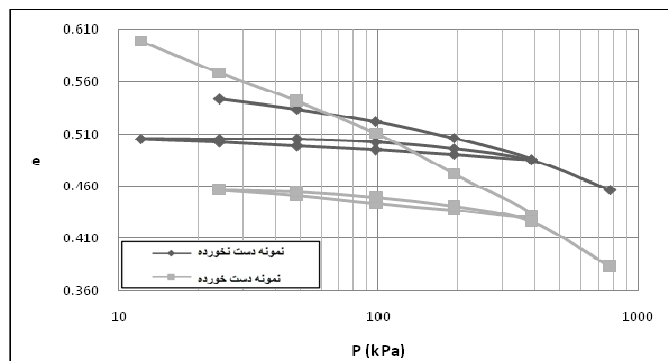
آزمایش تحکیم در ادامه آزمایش پتانسیل تورم و در صورت اطمینان از اشباع شدن نمونه‌ها انجام می‌شود. با توجه به این که سیکل آزمایش‌های پتانسیل تورم انجام شده روی خاک بررسی شده حدود ۲ هفته زمان می‌برد، تقریباً می‌توان گفت اکثر نمونه‌ها طی این دو هفته اشباع شده‌اند؛ ولی برای اطمینان از اشباع نمونه، پس از پایان تورم آزاد، نمونه وزن شده و با توجه به تغییر ارتفاع ناشی از تورم آزاد درجه اشباع نمونه محاسبه شده و در صورت اشباع بودن نمونه آزمایش تحکیم انجام شده است. لازم به ذکر است آزمایش تحکیم نمونه‌های تثبیت شده با پلیمر به علت اشباع نشدن نمونه‌ها میسر نشد.

برای تعیین ضریب تحکیم با توجه به بررسی‌های انجام گرفته از روش جذر زمان استفاده شد. با توجه به این که پارامترهای تحکیمی نظریه ضریب تحکیم ( $P_c$ )، ضریب تغییر حجم ( $m_c$ )، ضریب قابلیت فشردگی ( $\alpha_c$ ) و ضریب نفوذپذیری ( $K$ ) در طی زمان فرآیند آزمایش تحکیم و در فشارهای مختلف متغیر هستند، مقادیر ارائه شده در این تحقیق میانگین مقادیر به دست آمده در محدوده تنש‌های ۱۰۰–۲۰۰ کیلوپاسکال است. این محدوده تنش با توجه به فشار طراحی اعمالی روسازی راه بر خاک بستر انتخاب شده است. برای تعیین فشار بیش تحکیمی ( $P_c$ ) از روش ترسیمی کاساگراند (۱۹۳۶) در روی نمودار تخلخل - فشار استفاده شده است.

### نتایج آزمایش‌های تحکیم خاک بررسی شده

برای بررسی پارامترهای تحکیمی خاک شور آزمایش تحکیم در سه حالت نمونه دست نخورده، نمونه دستخورده بازسازی شده با درصد رطوبت و دانسیته محل و نمونه دستخورده بازسازی شده با دانسیته خشک حداقل و رطوبت بهینه به دست آمده از آزمایش تراکم استاندارد خاک بررسی شده انجام شده است. برای مقایسه و تأثیر دستخورده‌گی نمودار تخلخل - فشار برای دو حالت دستخورده و دستخورده بازسازی شده با شرایط محل در شکل ۱۵ ترسیم شده است. با توجه به این شکل ملاحظه می‌شود دستخورده‌گی موجب افزایش نشست تحکیمی و همچنین افزایش شب منحنی تخلخل - فشار می‌شود. پارامترهای تحکیمی در سه حالت مذکور که از آزمایش تحکیم به دست آمداند در جدول ۹ آمده است. با

توجه به نتایج این جدول ملاحظه می‌شود در اثر دست‌خوردگی ضریب تحکیم افزایش یافته و مدول الاستیسیته و فشار بیش تحکیمی خاک کاهش می‌یابد.



شکل ۱۵. تأثیر دست خوردگی در نمودار  $e$ -log  $P$

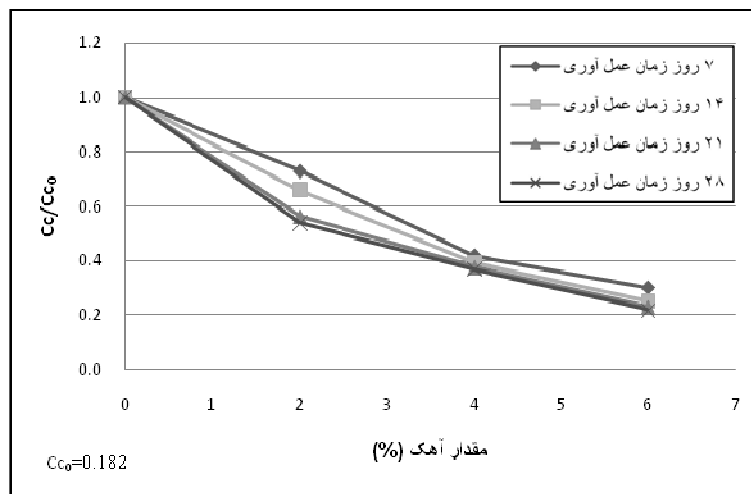
جدول ۹. پارامترهای تحکیمی خاک طبیعی

نمونه بازسازی شده با رطوبت بهیته و دانسیته خشک حداقل	نمونه بازسازی شده با شرایط محل	نمونه دست‌خوردده	واحد	نماد	پارامترهای تحکیمی
۱۶۸	۱۱۰	۱۸۳	kPa	$P_c$	فشار بیش تحکیمی
۰/۱۸۲	۰/۱۳۴	۰/۰۹۱	-	$C_e$	نشانه فشردگی
۰/۰۱۳	۰/۰۲۳	۰/۰۱۲	-	$C_s$	نشانه تورم
۰/۰۳۱	۰/۰۴۵	۰/۰۲۰	-	$C_f$	نشانه فشردگی
۷/۰۶	۷/۴۳	۴/۴۸	cm <sup>2</sup> /sec	$C_v$	ضریب تحکیم * $(\times 10^{-4})$
۰/۰۲۴	۰/۰۳۳	۰/۰۱۳	cm <sup>2</sup> /kg	$m_y$	ضریب تغییر حجم *
۰/۰۳۹	۰/۰۵۳	۰/۰۲۰	cm <sup>2</sup> /kg	$a_y$	ضریب قابلیت فشردگی *
۱/۴	۲/۱	۰/۵۸	cm/sec	$k$	ضریب نفوذپذیری * $(\times 10^{-8})$
۵۱/۶۳	۳۷/۴۶	۱۰۰/۷۹	kg/cm <sup>2</sup>	E	مدول الاستیسیته

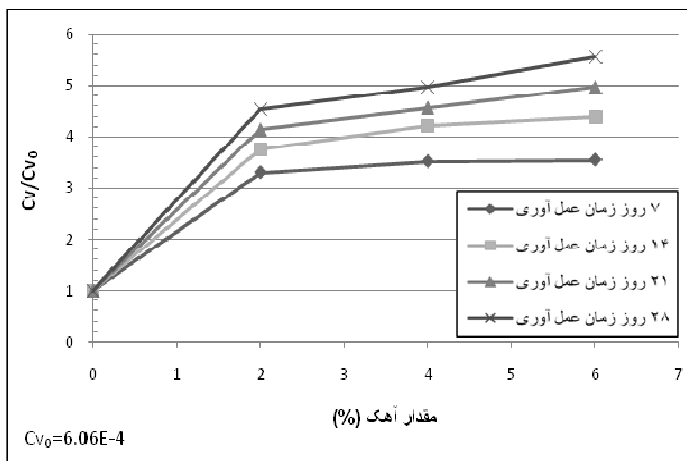
\* مقادیر ارائه شده میانگین بازه نتش های ۱۰۰ - ۲۰۰ کیلو پاسکال است

### نتایج آزمایش‌های تحکیم نمونه‌های ثبیت شده با آهک

برای مقایسه تأثیر آهک بر نشانه فشردگی ( $C_C$ )، شکل ۱۶ نمودار نشانه فشردگی در حالت تراکم مقدار آهک را نشان می‌دهد که نسبت به نشانه فشردگی خاک طبیعی در حالت تراکم آزمایشگاهی نرمالیزه شده است. همان‌طور چنان‌که در این شکل مشاهده می‌شود افزودن آهک به خاک شور بررسی شده موجب کاهش نشانه فشردگی ( $C_C$ ) می‌شود که نرخ میزان آن با افزایش آهک برای زمان‌های عمل‌آوری مختلف کاهش می‌یابد. این کاهش به علت گیرش آهک با خاک و مقاومت نمونه در برابر نشست بوده که این مقاومت با افزایش مقدار آهک و همچنین افزایش زمان عمل‌آوری بیش‌تر شده و در نتیجه شبیه منحنی بارگذاری اولیه کاهش می‌یابد. با توجه به این نمودار ملاحظه می‌شود نشانه فشردگی خاک با افزودن ۴، ۲ و ۰ درصد آهک در زمان عمل‌آوری ۷ روز به ترتیب ۰.۵۸، ۰.۷۷ و ۰.۹۰ درصد نسبت به حالت ثبیت نشده کاهش داشته که حاکی از کاهش چشم‌گیر نشست خاک با افزودن آهک است. برای مقایسه تأثیر آهک بر ضربی تحکیم، شکل ۱۷ نمودار ضربی تحکیم در برابر مقدار آهک را نشان می‌دهد که نسبت به ضربی تحکیم خاک طبیعی در حالت تراکم آزمایشگاهی نرمالیزه شده است.



شکل ۱۶. تأثیر آهک بر نشانه فشردگی خاک به صورت نرمالیزه شده

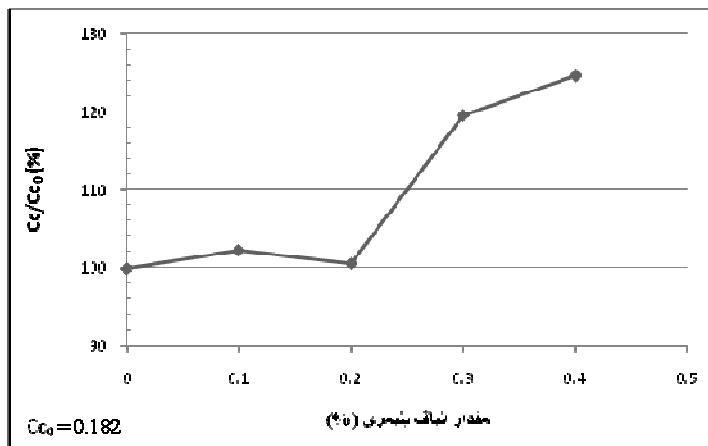


شکل ۱۷. تأثیر آهک بر ضریب تحکیم خاک به صورت نرمالیزه شده

چنان‌که در این شکل مشاهده می‌شود افزودن آهک به خاک شور بررسی شده موجب افزایش ضریب تحکیم می‌شود که میزان رشد آن با افزایش آهک برای زمان‌های عمل‌آوری مختلف افزایش می‌یابد. با توجه به این نمودار ملاحظه می‌شود ضریب تحکیم خاک با افزودن ۶، ۴ و ۲ درصد آهک در زمان عمل‌آوری ۷ روز به ترتیب  $\frac{3}{50}$ ،  $\frac{3}{20}$  و  $\frac{2}{54}$  برابر می‌شود.

#### نتایج آزمایش‌های تحکیم نمونه‌های تسلیح شده با الیاف پلیمری

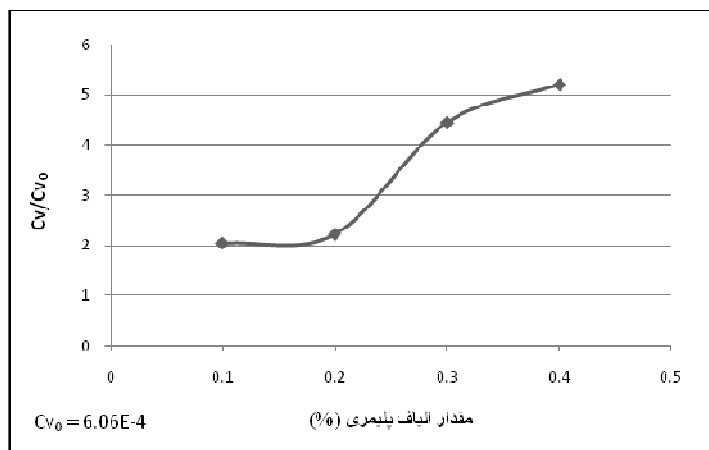
برای انجام آزمایش تحکیم بر روی نمونه‌های تسلیح شده با الیاف پلیمری، نمونه‌هایی با درصد رطوبت بهینه و دانسیتۀ خشک حداقل به دست آمده از نتایج آزمایش تراکم بر روی نمونه‌های خاک شور به اضافه ۰/۱، ۰/۲، ۰/۳ و ۰/۴ درصد الیاف پلیمری ساخته شد. سپس نمونه‌ها در محفظۀ دستگاه ادئومتر قرار گرفته و پس از اشباع و تورم آزاد تحت آزمایش تحکیم قرار گرفتند. برای مقایسه بهتر تأثیر الیاف پلیمری بر نشانۀ فشردگی ( $C_C$ )، شکل ۱۸ نمودار نشانۀ فشردگی در برابر مقدار الیاف پلیمری را نشان می‌دهد که نسبت به نشانۀ فشردگی خاک طبیعی در حالت تراکم آزمایشگاهی نرمالیزه شده است.



شکل ۱۸. تأثیر الیاف پلیمری بر نشانه فشردگی خاک به صورت نرمالیزه شده

چنان‌که در این شکل مشاهده می‌گردد افزودن الیاف پلیمری به خاک شور بررسی شده موجب افزایش نشانه فشردگی ( $C_c$ ) می‌شود که میزان آن با افزایش مقدار الیاف پلیمری تا  $2/0$  درصد تقریباً ثابت و از  $2/0$  درصد تا  $4/0$  درصد به صورت افزایشی است. این افزایش به علت افزایش نفوذپذیری خاک و در نهایت افزایش نشست تحکیمی بوده و در نتیجه شب منحنی بارگذاری اولیه افزایش می‌یابد. با توجه به این نمودار ملاحظه می‌شود نشانه فشردگی خاک با افزودن  $0/1$ ,  $0/2$ ,  $0/3$  و  $0/4$  درصد الیاف پلیمری به ترتیب  $2/3$ ,  $0/6$ ,  $0/6$  و  $24/6$  درصد نسبت به حالت تسلیح نشده افزایش داشته که حاکی از افزایش نشست خاک با افزودن الیاف پلیمری است.

برای مقایسه تأثیر الیاف پلیمری بر ضربت تحکیم، شکل (۱۹) نمودار ضربت تحکیم در برابر مقدار الیاف پلیمری را نشان می‌دهد که نسبت به ضربت تحکیم خاک طبیعی در حالت تراکم آزمایشگاهی نرمالیزه شده است. چنان‌که در این شکل مشاهده می‌گردد افروden الیاف پلیمری به خاک شور بررسی شده موجب افزایش ضربت تحکیم می‌شود که میزان رشد آن با افزایش الیاف پلیمری افزایش می‌یابد. با توجه به این نمودار ملاحظه می‌شود ضربت تحکیم خاک با افزودن  $0/1$ ,  $0/2$ ,  $0/3$  و  $0/4$  درصد الیاف پلیمری به ترتیب  $2/22$ ,  $2/04$ ,  $44/4$  و  $5/20$  برابر نسبت به حالت ثبات نشده افزایش داشته است.



شکل ۱۹. تأثیر الیاف پلیمری بر ضریب تحکیم خاک به صورت نرمالیزه شده

### جمع‌بندی و نتیجه‌گیری

در این تحقیق نتایج بررسی‌های آزمایشگاهی بر روی خصوصیات تغییر حجمی یک خاک رسی شور در حالت دستخورده، دستخورده، ثبیت شده با آهک و پلیمر و همچنین تسلیح شده با الیاف پلیمری ارائه شده است. با توجه به تحقیق انجام شده می‌توان چنین نتیجه‌گیری کرد:

- با توجه به نتایج آزمایش‌های تورم خاک پروژه حاضر، می‌توان نتیجه گرفت که علت اصلی تورم در این خاک دستخورده‌گی خاک و تخریب ساختار و ترکیب اولیه خاک است.
- با انجام آزمایش تحکیم بر روی نمونه‌های دستخورده و دستخورده مشاهده شد، دستخورده‌گی موجب افزایش نشست تحکیمی و همچنین افزایش شب منحنی تخلخل - فشار می‌شود. علی‌رغم دانسیته بالاتر نمونه بازسازی شده با شرایط محل نشست تحکیمی این نمونه در بارگذاری اولیه بیشتر از نمونه ساخته شده با رطوبت بهینه و دانسیته حداقل آزمایش تراکم است.

- در اثر دست‌خوردگی ضریب تحکیم افزایش می‌یابد.
  - افروden آهک، پلیمر و الیاف پلیمری به خاک موجب کاهش حد روانی خاک می‌شود، ولی میزان این کاهش در آهک و پلیمر در مقایسه با الیاف پلیمری بیشتر است.
  - مقایسه بین پارامترهای تورمی (تورم آزاد و فشار تورم) نمونه‌های ثبت شده با آهک و پلیمر و نمونه‌های تسلیح شده با الیاف پلیمری نشان می‌دهد که همگی باعث کاهش تورم آزاد می‌شوند، ولی در مورد فشار تورم، پلیمر در مخلوط ۹ درصد موجب افزایش و در سایر موارد کاهش آن می‌شود که این مسئله از نکات منفی ثبت با پلیمر به شمار می‌رود.
  - مقایسه بین پارامترهای تحکیمی نمونه‌های ثبت شده با آهک و نمونه‌های تسلیح شده با الیاف پلیمری نشان می‌دهد که نشت تحکیمی در نمونه‌های تسلیح شده با الیاف پلیمری افزایش و در نمونه‌های ثبت شده با آهک کاهش می‌یابد، همگی باعث افزایش ضریب تحکیم می‌شوند، ولی در مورد مدول الاستیسیته، آهک موجب افزایش و در سایر موارد کاهش آن می‌شود که این مسئله از نکات منفی نمونه‌های تسلیح شده با الیاف پلیمری به شمار می‌رود.
- ✓ با توجه به تمام شرایط و همچنین هزینه بالا و نکات منفی استفاده از پلیمر و نمونه‌های تسلیح شده با الیاف پلیمری نسبت به آهک به نظر می‌رسد که آهک هر چند که ثبت کننده‌ای بسیار قدیمی است اما همچنان برای اکثر پروژه‌ها مفروض به صرفه‌تر بوده و استفاده از پلیمر با توجه به گیرش سریع آن تنها در پروژه‌های خاص توصیه می‌شود.

### منابع

1. Mosleh, A., AL-Shamrani "Applicability of the rectangular hyperbolic method to settlement predictions of sabkha soils" Geotechnical and Geological Engineering (2004) 563-587.
2. Chen, F. H., Foundations on Expansive Soils, ELSEVIER (1988).

3. Likos, W. J., "Measurement of crystalline swelling in expansive clay", Geotechnical Testing Journal, Vol. 27, No. 6 (2004) 1-7.
4. Sherif, M. A., Ishibashi, I., and Medhin, B. W., ASCE, Journal of the Geotechnical Engineering Division, 108(1) January (2004) 33-45.
5. Jones D. E., "Expansive soils and housing development" Proceedings, Workshop on Expansive Clays and Shale in Highway Design and Construction, Vol. (1973) 1.
6. Aiban, S. A., Al-Ahmadi, H. M. "Effect of geotextile and cement on the performance of sabkha subgrade" Building and Environment (2006) 807-820.
7. حیدری، س؛ تثبیت خاکهای شور با استفاده از آهک و میکروسیلیس، پایاننامه کارشناسی ارشد، دانشگاه بین‌المللی امام خمینی(ره) (۱۳۸۷).
8. Rajasekaran, G., Narasimha Rao, S. "Compressibility behaviour of lime-treated marine clay" Ocean Engineering 29 (2002) 545-559.
9. Al-Khashab, M. N., Al-Hayalee, M. T. "Stabilization of Expansive Clayey Soil Modified by Lime with an Emulsified Asphalt Addition" Eng.& Technology, Vol. 26, No.10 (2008).
10. Mohamed, A., Sakr, Mohamed, A., Shahin, Yasser, M., Metwally "Utilization of Lime for Stabilizing Soft Clay Soil of High Organic Content" Geotech Geol Eng 27, 105-113, © Springer Science+Business Media B.V (2009).
11. HSAI-Yang Fang "Foundation engineering handbook" The Chapman & Hall (1991).

12. Kariuki, P. C., Meer, F. "A unified swelling potential index for expansive soils" Journal of Engineering Geology, Vol.72 (2004) 1-8.
۱۳. عبدالی، م.ر؛ ابراهیمی، ا؛ تأثیر طول و مقادیر الیاف پاپیلین بر خصوصیات مکانیکی کائولینیت، دانشگاه خواجه نصیرالدین طوسی، تهران، دانشگاه بین المللی امام خمینی (ره)، قزوین (۱۳۸۷).
۱۴. صمیمی فر، م؛ بررسی پارامترهای مقاومت پرشی خاک شور و اثر تقطیع بر آن، پایان نامه کارشناسی ارشد، دانشگاه بین المللی امام خمینی (ره)، قزوین (۱۳۸۸).
15. Banu Ikizler, S., Mustafa Aytekin, Emel Türker, Halil İbrahim Yavuz. "Effect of fibers on swelling characteristics of bentonite" 2nd International Conference on New Developments in Soil Mechanics and Geotechnical Engineering, Near East University, Nicosia, North Cyprus (2009).
۱۶. شرکت وند شیمی ساختمان، ایران، تهران.